

$\approx b(r, k_0, \alpha_1)$ , если  $v_m \leq v$ . Тем самым можно найти разложения  $b(r)$ ,  $B(r)$ ,  $m(r)$ ,  $U(r)$ . Далее эти разложения можно использовать для проведения спектрального анализа уравнения (13). Здесь отметим только, что условием существования потенциальной ямы является выполнение условия  $Rm > Re^{5/4}$  ( $Re$  — гидродинамическое число Рейнольдса), при этом квазиклассический интеграл растет как  $c_2 \ln(Rm Re^{-5/4}) + c_3 \ln Re$ ,  $c_2 \sim 1$ ,  $c_3 \sim 1$ .

В заключение автор благодарит С. А. Молчанова, А. А. Рuzмайкина и Д. Д. Соколова за полезные обсуждения.

#### СПИСОК ЛИТЕРАТУРЫ

- [1] Steenbeck M., Krause F., Rädler K.-H.//Z. Naturforsch. 1969. 21a. P. 369—376. [2] Казанцев А. П.//ЖЭТФ. 1967. 53. С. 1806—1813. [3] Молчанов С. А., Рuzмайкин А. А., Соколов Д. Д.//УФН. 1985. 145, № 4. С. 593—628. [4] Dittrich P., Molchanov S. A., Ruzmaikin A. A., Sokoloff D. D.//Astrop. Nachr. 1984. 305, N 3. P. 119—125. [5] Колмогоров А. Н.//ДАН СССР. 1941. 30, № 4. С. 299—303. [6] Монин А. С., Яглом А. М. Статистическая гидромеханика. М., 1967. Ч. 2. [7] Аканбаев Н.//Дифференциальные уравнения, теория функций и их приложения. Алма-Ата, 1986. С. 3—8. [8] Маккин Х. П. Стохастические интегралы. М., 1972. [9] Гихман И. И., Скороход А. В. Введение в теорию случайных процессов. М., 1965. [10] Градштейн И. С., Рыжик И. М. Таблицы интегралов, сумм, рядов и произведений. М., 1971.

Поступила в редакцию  
09.12.86

ВЕСТН. МОСК. УН-ТА. СЕР. 3, ФИЗИКА. АСТРОНОМИЯ. 1988. Т. 29, № 2

#### АТОМНАЯ И ЯДЕРНАЯ ФИЗИКА

УДК 549.121.7

#### МОМЕНТЫ ПРОДОЛЬНОГО РАСПРЕДЕЛЕНИЯ ЭЛЕКТРОННО-ФОТОННЫХ КАСКАДОВ

И. П. Иваненко, В. В. Сизов

(НИИЯФ)

Развивается широко применяемый в каскадной теории метод моментов: последовательно учитываются рассеяние и реалистические сечения других элементарных взаимодействий. На примере каскада, развивающегося в свинце, проводится исследование физической и математической точности метода.

Метод моментов позволяет получить энергетические спектры и продольные распределения каскадных частиц в различных веществах при произвольных значениях переменных и параметров.

Настоящая работа посвящена дальнейшему развитию этого метода: последовательному учету рассеяния и реалистических сечений других элементарных взаимодействий и исследованию физической и математической точности метода [1, 2]. Моменты каскадной кривой с учетом рассеяния получены путем последовательного вычисления смешанных моментов по глубине и углу. При описании упругого рассеяния электронов ливня на атоме учтены конечные размеры ядра и экранирование заряда ядра электронными оболочками. Проводится сравнение с результатами, полученными с использованием приближения Ландау и асимптотических сечений элементарных взаимодействий. Методика и результаты восстановления каскадных кривых по моментам будут обсуждены в следующей статье.

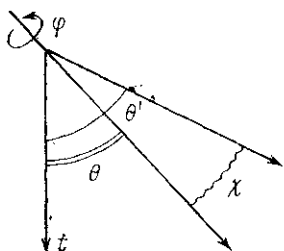
**Уравнения для моментов с учетом рассеяния.** В работах [1, 2] рассматривались одномерные моменты по глубине и углу. Получим уравнения для смешанных моментов по этим переменным.

Уравнения для функций распределения  $P, \Gamma(E, t, \cos \theta)$  электронов и фотонов по энергии  $E$ , глубине  $t$  и углу  $\theta$  в ливне, вызванном первичной частицей энергии  $E_0$ , имеют вид [3]

$$\frac{\partial P}{\partial t} \cos \theta = L_1(P, \Gamma) + \rho \int (P(E, t, \cos \theta) - P(E, t, \cos \theta')) \sigma(\chi) \sin \chi d\chi, \quad (1)$$

$$\frac{\partial \Gamma}{\partial t} \cos \theta = L_2(P, \Gamma).$$

Здесь  $L_1, L_2$  — стандартные интегро-дифференциальные операторы каскадной теории, действующие на переменную  $E$  [1]; интегральный член в правой части первого уравнения описывает кулоновское рассеяние электронов на ядрах,  $\rho$  — плотность рассеивающих центров,  $\sigma(\chi)$  — сечение рассеяния. Смысл обозначений углов ясен из рис. 1.



Разлагая функции в подынтегральном выражении по полиномам Лежандра  $\mathcal{P}_l(\cos \theta)$ , пользуясь формулой сложения углов для этих полиномов и выполняя интегрирование по  $\varphi$ , приведем уравнения (1) к следующему виду:

Рис. 1

$$\begin{cases} \frac{\partial P}{\partial t} \cos \theta = L_1(P, \Gamma) - \sum_l P_l(E, t) S_l(E) \mathcal{P}_l(\cos \theta) \frac{2l+1}{2}, \\ \frac{\partial \Gamma}{\partial t} \cos \theta = L_2(P, \Gamma). \end{cases} \quad (2)$$

Здесь

$$P_l(E, t) = \int_0^\pi P(E, t, \cos \theta) \mathcal{P}_l(\cos \theta) \sin \theta d\theta, \quad (3)$$

$$S_l(E) = 2\pi\rho \int_0^\pi (1 - \mathcal{P}_l(\cos \chi)) \sigma(\chi) \sin \chi d\chi. \quad (4)$$

Поведение функции  $S_l(E)$  при различном описании кулоновского рассеяния подробно исследовано в [2]. Получим из (2) систему уравнений для смешанных моментов  $P, \Gamma_l^{(n)}(E)$ :

$$P, \Gamma_l^{(n)}(E) = \iint P, \Gamma(E, t, \cos \theta) t^n \mathcal{P}_l(\cos \theta) dt d\Omega.$$

Рассмотрим нормальное падение первичной частицы на полубесконечную среду. В случае, например, первичного электрона граничные условия имеют следующий вид:

$$\begin{cases} P(E, t=0, \cos \theta) = \frac{\delta(\theta)}{\sin(\theta)} \delta(E_0 - E), \\ \Gamma(E, t=0, \cos \theta) = 0. \end{cases}$$

Для восстановления каскадной кривой нам необходимы моменты  $P, \Gamma_0^{(n)}(E)$ . Уравнения для них получим, умножив (2) на  $t^n$  ( $n \geq 1$ ) и проинтегрировав по  $dt d\Omega$ :

$$\begin{cases} L_1(P_0^{(n)}, \Gamma_0^{(n)}) = -nP_1^{(n-1)}, \\ L_2(P_0^{(n)}, \Gamma_0^{(n)}) = -n\Gamma_1^{(n-1)}. \end{cases} \quad (5)$$

Уравнения для смешанных моментов  $P, \Gamma_l^{(n-1)}(E)$ , входящих в правую часть (5), получим, умножив (2) на  $t^n \mathcal{P}_l(\cos \theta)$  ( $n \geq 1, l \geq 1$ ) и проинтегрировав по  $dt d\Omega$ :

$$\begin{cases} L_1(P_l^{(n)}, \Gamma_l^{(n)}) - P_l^{(n)} S_l = -\frac{n}{2l+1} [(l+1) P_{l+1}^{(n-1)} + l P_{l-1}^{(n-1)}], \\ L_2(P_l^{(n)}, \Gamma_l^{(n)}) = -\frac{n}{2l+1} [(l+1) \Gamma_{l+1}^{(n-1)} + l \Gamma_{l-1}^{(n-1)}]. \end{cases} \quad (6)$$

Наконец, уравнения для функций  $P, \Gamma_l^{(0)}$ , входящих в правую часть (6) при  $n=1$ , получим из (2) умножением на  $\mathcal{P}_l(\cos \theta)$  и интегрированием по  $dt d\Omega$  с учетом граничных условий:

$$\begin{cases} L_1(P_l^{(0)}, \Gamma_l^{(0)}) - P_l^{(0)} S_l = \begin{cases} -\delta(E_0 - E) \\ 0 \end{cases}, \\ L_2(P_l^{(0)}, \Gamma_l^{(0)}) = \begin{cases} 0 \\ -\delta(E_0 - E) \end{cases}. \end{cases} \quad (7)$$

Первая строка выражения в фигурных скобках относится к случаю первичного электрона, вторая — к случаю первичного фотона.

Последовательность вычислений моментов  $P, \Gamma_l^{(n)}(E)$  иллюстрируется табл. 1. Моменты, стоящие в первой строке, получены решением

Таблица 1

$n$	0	1	2	3	4...
0	$P, \Gamma_0^{(0)}$	$P, \Gamma_1^{(0)}$	$P, \Gamma_2^{(0)}$	$P, \Gamma_3^{(0)}$	$P, \Gamma_4^{(0)}$
1	$P, \Gamma_0^{(1)}$	$P, \Gamma_1^{(1)}$	$P, \Gamma_2^{(1)}$	$P, \Gamma_3^{(1)}$	
2	$P, \Gamma_0^{(2)}$	$P, \Gamma_1^{(2)}$	$P, \Gamma_2^{(2)}$		
3	$P, \Gamma_0^{(3)}$	$P, \Gamma_1^{(3)}$			
4	$P, \Gamma_0^{(4)}$				

системы уравнений (7); первый столбец получен решением уравнений (5); остальные вспомогательные моменты получаются из уравнений (6).

Для оценки влияния рассеяния на вид каскадной кривой и контроля точности вычислений были получены также моменты каскадной кривой без учета рассеяния  $P, \Gamma^{(n)}(E)$  решением системы уравнений

$$\begin{cases} L_1(P^{(n)}, \Gamma^{(n)}) = -nP^{(n-1)}, \\ L_2(P^{(n)}, \Gamma^{(n)}) = -n\Gamma^{(n-1)}, \end{cases}$$

где  $P^{(0)}, \Gamma^{(0)}$  (равновесные спектры) — решения уравнений (7) для  $l=0$ .

Численно-аналитический метод решения системы интегро-дифференциальных уравнений вида (5)–(7) описан в [1]. В этой же работе даны явные выражения операторов  $L_1, L_2$  в приближениях А, Б и В каскадной теории и исследованы решения уравнений (7) для  $l=0$  (равновесные спектры); решения для  $l \neq 0$  (угловые моменты) исследовались в [2].

**Результаты расчетов.** Моменты каскадной кривой были рассчитаны для свинца в стандартных приближениях А и Б каскадной теории и в приближении В, в котором учитывалось отличие сечений радиационного торможения и образование пар от асимптотических значений, а также влияние на энергетический спектр фото- и комптон-эффектов. Расчет проводился с учетом и без учета рассеяния, причем в приближениях А и Б рассеяние описывалось в рамках приближения Ландау, т. е. член  $S_l(E)$  в (2) брался в виде [3]

$$S_l(E) = \frac{E_k^2}{4E^2} l(l+1), \quad E_k = 21,2 \text{ МэВ},$$

а в приближении В функция  $S_l(E)$  вычислялась по формуле (4), где в сечении  $\sigma(\chi)$  учитывались экранирование заряда ядра атомными электронами и конечные размеры ядра. Все результаты, приведенные в данной работе, получены для ливня от первичного электрона энергии 1 ГэВ в свинце.

Для проверки точности работы программы в приближении А без учета рассеяния рассчитали среднюю глубину  $\bar{l}$  и продольный размер ливня  $\bar{l}^2 - \bar{l}^2$  для  $E_0/E = 10^4$ . В табл. 2 проводится сравнение резуль-

Таблица 2

Средние величины	Первичный электрон			Первичный фотон		
	$P$	$\Gamma$	$N_p$	$P$	$\Gamma$	$N_p$
$\bar{l}_{\text{анал}}$	10,30	10,50	9,332	11,10	11,30	10,10
$\bar{l}_{\text{расч}}$	10,33	10,49	9,316	11,12	11,30	10,12
$(\bar{l}^2 - \bar{l}^2)_{\text{анал}}$	14,73	15,83	14,13	15,92	16,93	15,33
$(\bar{l}^2 - \bar{l}^2)_{\text{расч}}$	14,79	15,91	14,33	16,21	17,30	15,54

татов расчета для дифференциальных ( $P, \Gamma$ ) и интегральной ( $N_p$ ) каскадных кривых со значением аналитических выражений, полученных в том же приближении в предположении  $E_0 \rightarrow \infty$ :

$$\bar{l} = 1,01 \ln(E_0/E) + h,$$

$$\bar{l}^2 - \bar{l}^2 = 1,61 \ln(E_0/E) + k,$$

где  $h, k$  — константы, определяемые типом каскадной кривой и первичной частицы [4]. Как видно из табл. 2, точность расчета  $\bar{l}$  составляет  $\sim 0,1\%$ , точность  $(\bar{l}^2 - \bar{l}^2)$  — примерно  $1\%$ . Подробное обсуждение точности высших моментов и примеры конкретных расчетов будут приведены в следующей работе.

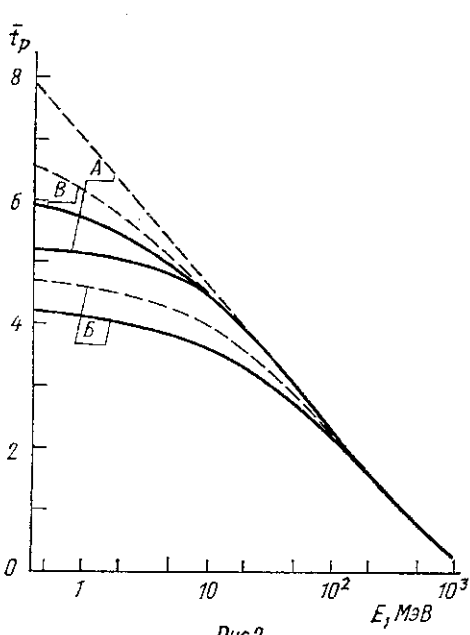


Рис. 2

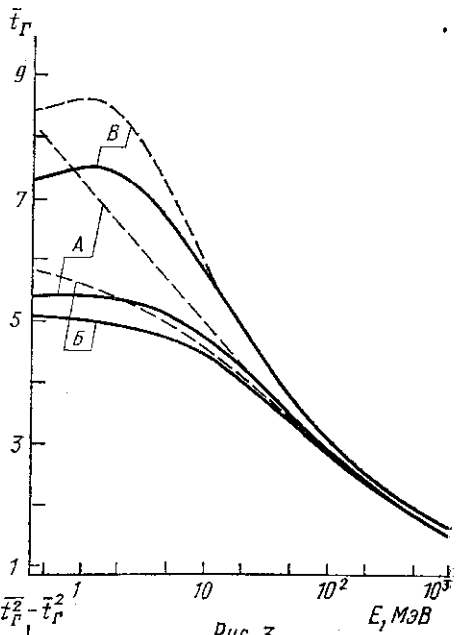


Рис. 3

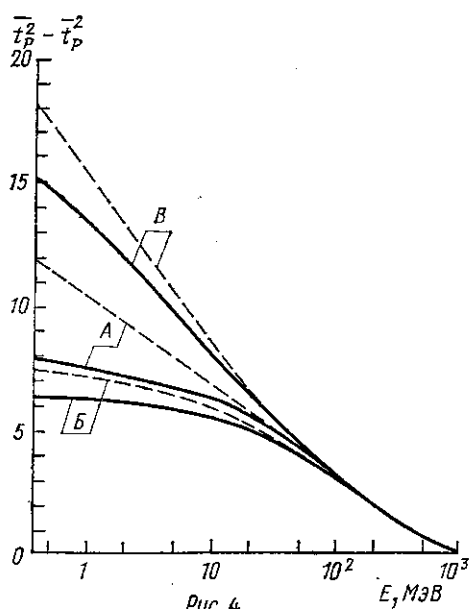


Рис. 4

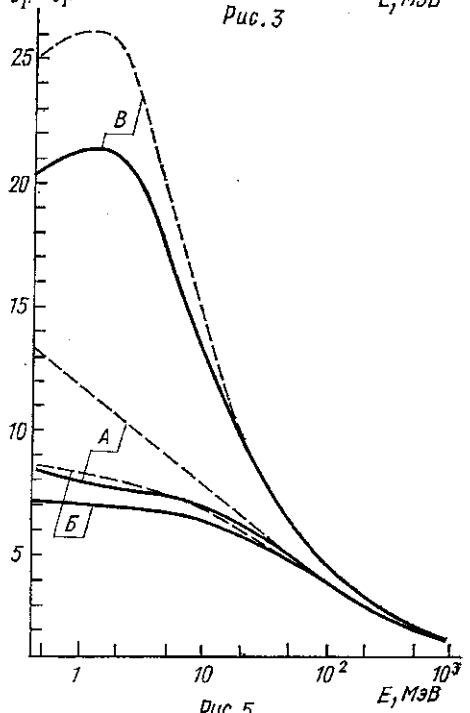


Рис. 5

В качестве примера приводим результаты расчета средней глубины  $\bar{t}_{P,\Gamma}$  (рис. 2, 3) и продольного размера  $\bar{t}_{P,\Gamma}^2 - \bar{t}_{P,\Gamma}^2$  (рис. 4, 5) электронной и фотонной компонент ливня,

$$\bar{t}_{P,\Gamma}^k = N_{P,\Gamma}^{(k)}(E) / N_{P,\Gamma}^{(0)}(E),$$

$$N_{P,\Gamma}^{(k)} = \int_E^{E_0} P, \Gamma_0^{(k)}(E) dE.$$

Сплошные кривые дают значение этих величин с учетом рассеяния, пунктирные — без учета рассеяния. Буквы у кривых означают приближение каскадной теории.

В приближении А без учета рассеяния зависимости  $\bar{t}$  и  $\bar{t}^2 - \bar{t}^2$  от  $E$  совпадают с выражениями (8) для  $E \ll E_0$ . Расчет этих величин в приближениях Б и В дает результаты, существенно отличающиеся от (8) как по абсолютному значению, так и по характеру зависимости от  $E$ . Учет ионизационных потерь приводит к подавлению низкоэнергетичной компоненты ливня. На рис. 2–5 это проявляется в уменьшении средней глубины и продольного размера ливня, и в первую очередь его электронной компоненты. Переход к приближению В, напротив, сильнее сказывается на фотонах вследствие сильной зависимости сечения поглощения фотонов  $\sigma$  от энергии. При  $E \geq 1$  МэВ  $\sigma$  меньше своего асимптотического значения  $\sigma_0 = 0,77$ , используемого в приближении Б. Уменьшение  $\sigma$ , т. е. увеличение длины свободного пробега фотонов, приводит к тому, что каскадная кривая становится более широкой, а ее максимум смещается в сторону больших  $t$ . При  $E \leq 1$  МэВ, наоборот, за счет фото- и комптон-эффекта  $\sigma > \sigma_0$  и кривые «В» на рис. 3, 5 выходят на плато и даже несколько понижаются.

Учет рассеяния соответствует увеличению сечения поглощения электронов, поэтому сплошные кривые на рис. 2–5 идут ниже соответствующих пунктирных кривых. В целом можно сказать, что моменты каскадной кривой менее чувствительны к учету рассеяния, нежели к деталям описания сечений других элементарных взаимодействий (переход от приближения Б к В).

#### СПИСОК ЛИТЕРАТУРЫ

- [1] Иваненко И. П., Иванова Е. В., Максименко В. М., Сизов В. В. Препринт ФИАН СССР № 257. М., 1984; Иваненко И. П., Сизов В. В. // Вестн. Моск. ун-та. Физ. Астрон. 1985. 26, № 4. С. 28–32. [2] Иваненко И. П., Максименко В. М., Сизов В. В. Препринт ФИАН СССР № 179. М., 1985; Иваненко И. П., Сизов В. В. // Вестн. Моск. ун-та. Физ. Астрон. 1986. 27, № 3. С. 28–33. [3] Беленький С. З. Лавинные процессы в космических лучах. М., 1948. [4] Росси Б., Грейзен К. Взаимодействие космических лучей с веществом. М., 1948.

Поступила в редакцию  
26.11.86